

脉冲激光激发的原子共振荧光

张卫平*

谭维翰

(中国科学院安徽光学精密机械研究所)

(中国科学院上海光学精密机械研究所)

提 要

本文从含有弛豫项的光与二能级原子相互作用的布洛赫 (Bloch) 方程出发, 利用计算机进行数值求解, 在强共振激发条件下, 给出了几种不同的激光脉冲(包括常见的高斯脉冲)激发的原子共振荧光谱, 获得了原子在瞬态辐射过程中的一些新现象。

关键词: 共振荧光, 瞬态共振荧光现象。

一、引 言

二能级原子在单色连续的强激光激发下的共振荧光理论, 已有较多的研究^[1,2], 并与实验结果较好地相符。然而对强激光脉冲激发的瞬态共振荧光现象, 研究较少; 但也开始为人注意^[3,4]。文献[3]曾研究了矩形脉冲激光对原子共振荧光的影响, 但实际激光脉冲都与矩形脉冲相差甚大, 所以该文献的结果不能描述实际脉冲激光场激发的共振荧光现象。最近, 文献[4]从二能级原子薛定谔(Schrödinger)方程出发, 计算了双曲正割形脉冲激发的原子荧光谱; 但他们忽略了原子自发辐射加宽的影响。事实上, 撇开自发辐射过程带来的影响去研究原子的辐射现象, 本身就是矛盾的; 因为原子的荧光辐射首先是由自发辐射过程引起的, 所以文献[4]所做的假定本身就是否定了它的合理性。本文从脉冲激光与原子相互作用的布洛赫方程出发, 考虑横向弛豫时间 T_2 与纵向弛豫时间 T_1 (自发辐射加宽的影响), 对几种形状的激光脉冲波形(包括常见的高斯脉冲), 在强共振激发条件下, 利用计算机数值求解, 获得了脉冲激光激发的原子共振荧光谱; 并进行了讨论。

二、运动方程与瞬态共振荧光谱

参照文献[2], 得出原子与形状为 $F(t)$ 的脉冲激光场的相互作用布洛赫方程为

$$\left. \begin{aligned} \frac{d}{dt} [\rho_{ab} \exp(i\omega_e t)] &= -z^* [\rho_{ab} \exp(i\omega_e t)] - \frac{i\Omega_0}{2} F(t) \Delta, \\ \frac{d}{dt} [\rho_{ba} \exp(-i\omega_e t)] &= -z [\rho_{ba} \exp(-i\omega_e t)] + \frac{i\Omega_0}{2} F(t) \Delta, \\ \frac{d}{dt} \Delta &= -K_1(\Delta - \Delta_0) + i\Omega_0 F(t) [\rho_{ba} \exp(-i\omega_e t) - \rho_{ab} \exp(i\omega_e t)], \\ z &= (K/2) + i(\omega_e - \omega_0) = (K/2) + i\Delta\omega, \end{aligned} \right\} \quad (1)$$

式中 ω_0 为原子二能级间跃迁频率, $\Omega_0 = (2\mu \cdot E_0/\hbar)$ 为峰值场强对应的拉比(Rabi)频率; 且

收稿日期: 1986年5月29日; 收到修改稿日期: 1986年11月28日

* 现在通讯地址: 中国科学院上海光学精密机械研究所。

$K_1 = (1/T_1)$, $(K/2) = (1/T_2)$ 。在初值时刻, 若原子处于基态, 则 $\Delta_0 = -1$, $\rho_{ab}(0) = \rho_{ba}(0) = 0$ 。若定义

$$\begin{aligned} G^{(1)}(t, \tau) &= \langle \hat{\sigma}^+(t) \hat{\sigma}^-(t+\tau) \rangle, & G^{(2)}(t, \tau) &= \langle \hat{\sigma}^+(t) \hat{\sigma}^+(t+\tau) \rangle, \\ G^{(3)}(t, \tau) &= \langle \hat{\sigma}^+(t) \hat{\sigma}_s(t+\tau) \rangle, \end{aligned} \quad (2)$$

式中 $\hat{\sigma}^+$, $\hat{\sigma}^-$ 分别为原子上升与下降算子, $\hat{\sigma}_s$ 为原子反转粒子数算子。按量子回归定理^[5], 它们应满足与(1)式同样形式的方程, 即

$$\left. \begin{aligned} \frac{d}{d\tau} [G^{(1)} \exp(i\omega_e \tau)] &= -z^* G^{(1)} \exp(i\omega_e \tau) - \frac{i\Omega_0}{2} F(t+\tau) G^{(3)}, \\ \frac{d}{d\tau} [G^{(2)} \exp(-i\omega_e \tau)] &= -z G^{(2)} \exp(-i\omega_e \tau) + \frac{i\Omega_0}{2} F(t+\tau) G^{(3)}, \\ \frac{d}{d\tau} G^{(3)} &= -K_1 [G^{(3)} - G^{(3)}(t, 0)] + i\Omega_0 F(t+\tau) [G^{(2)} \exp(-i\omega_e \tau) - G^{(1)} \exp(i\omega_e \tau)], \end{aligned} \right\} (3)$$

$$G^{(1)}(t, 0) = [1 + \Delta(t)]/2, \quad G^{(2)}(t, 0) = 0, \quad G^{(3)}(t, 0) = -\rho_{ba}(t). \quad (4)$$

关于原子发射谱的普适定义为

$$g(\nu, T) = 2\text{Re} \left[\frac{1}{T} \int_0^T dt \int_0^\infty \langle \hat{\sigma}^+(t) \hat{\sigma}^-(t+\tau) \rangle \exp(i\nu\tau) d\tau \right], \quad (5)$$

式中 $\langle \hat{\sigma}^+(t) \hat{\sigma}^-(t+\tau) \rangle$ 为相关函数, 一般可分为两大部分

$$\langle \hat{\sigma}^+(t) \hat{\sigma}^-(t+\tau) \rangle = f(t, \tau) + C(t) \exp(-i\omega_e \tau), \quad (6)$$

且 $\lim_{\tau \rightarrow \infty} f(t, \tau) = 0$ 。于是(5)式可化为

$$\begin{aligned} g(\nu, T) &< 2\text{Re} \left[\frac{1}{T} \int_0^T dt \int_0^\infty f(t, \tau) \exp(i\nu\tau) d\tau \right] + \left[\frac{1}{T} \int_0^T C(t) dt \right] \delta(\nu - \omega_e) \\ &= 2\text{Re} \left[\frac{1}{T} \int_0^T dt \int_0^\infty [G^{(1)}(t, \tau) \exp(i\omega_e \tau) - C(t)] \exp[i(\nu - \omega_e)\tau] d\tau \right. \\ &\quad \left. + \left[\frac{1}{T} \int_0^T C(t) dt \right] \delta(\nu - \omega_e) \right]. \end{aligned} \quad (7)$$

(7)式的后一项给出了原子对脉冲中心频率成分的相干散射^[1], 这一项对研究原子的辐射过程是怎样受脉冲激光的影响来说, 并不能给出更多的信息, 因此, 本文以后所说的原子辐射谱均指(7)式的前一项而言。

三、数值计算基本方程及参数取定

1. 基本方程的归一化

为使得方程组(1)、(3)及谱定义(7)式适用于数值计算, 我们令

$$\left. \begin{aligned} \rho_{ab} \exp(i\omega_e t) &= u(t) + i v(t), \\ \rho_{ba} \exp(-i\omega_e t) &= u(t) - i v(t), \\ \Delta(t) &= W(t), \\ G^{(1)}(t, \tau) \exp(i\omega_e \tau) &= C_1(t, \tau) + i C_2(t, \tau), \\ G^{(2)}(t, \tau) \exp(-i\omega_e \tau) &= C_3(t, \tau) + i C_4(t, \tau), \\ G^{(3)}(t, \tau) &= C_5(t, \tau) + i C_6(t, \tau). \end{aligned} \right\} (8)$$

并对所有参数以 $(2/T_2) = K$ 归一化, 且让 $t' = tK$, $T' = TK$, $\Omega'_0 = (\Omega_0/K)$, $\Delta\omega' = (\Delta\omega/K)$, $\tau' = \tau K$, $\omega'_e = (\omega_e/K)$, $\nu' = (\nu/K)$, $K'_1 = K_1/K$ 。由 (3) 及 (8) 式即得如下方程

$$\left. \begin{aligned} \frac{dC_1}{d\tau'} &= -\frac{1}{2} C_1 - \Delta\omega' C_2 + \frac{\Omega'_0}{2} F(t'+\tau') C_6, \\ \frac{dC_2}{d\tau'} &= -\frac{1}{2} C_2 + \Delta\omega' C_1 - \frac{\Omega'_0}{2} F(t'+\tau') C_5, \\ \frac{dC_3}{d\tau'} &= -\frac{1}{2} C_3 + \Delta\omega' C_4 - \frac{\Omega'_0}{2} F(t'+\tau') C_6, \\ \frac{dC_4}{d\tau'} &= -\frac{1}{2} C_4 - \Delta\omega' C_3 + \frac{\Omega'_0}{2} F(t'+\tau') C_5, \\ \frac{dC_5}{d\tau'} &= -K'_1 C_5 - \Omega'_0 F(t'+\tau') C_4 + \Omega'_0 F(t'+\tau') C_2 - K'_1 u(t'), \\ \frac{dC_6}{d\tau'} &= -K'_1 C_6 + \Omega'_0 F(t'+\tau') C_3 - \Omega'_0 F(t'+\tau') C_1 + K'_1 v(t'), \\ C_2(t', 0) &= C_3(t', 0) = C_4(t', 0) = 0, \\ C_1(t', 0) &= [1+W(t')]/2, C_5(t', 0) = -u(t'), C_6(t', 0) = v(t'). \end{aligned} \right\} \quad (9)$$

同样由 (1) 式及 (8) 式得

$$\left. \begin{aligned} \frac{du}{dt'} &= -\frac{1}{2} u - \Delta\omega' v, \\ \frac{dv}{dt'} &= -\frac{1}{2} v + \Delta\omega' u - \frac{\Omega_0}{2} F(t') w, \\ \frac{dw}{dt'} &= -K'_1(w - A_0) + 2\Omega'_0 F(t') v, \end{aligned} \right\} \quad (10)$$

初始条件为 $u(0) = v(0) = 0$, $w(0) = A_0$ 。由 (7) 式, 光谱密度为

$$\begin{aligned} g(\nu', T') &= 2\text{Re} \left\{ \frac{1}{T'} \int_0^{T'} dt' \int_0^\infty [\langle \hat{\sigma}^+(t') \hat{\sigma}^-(t'+\tau') \rangle \right. \\ &\quad \left. - C(t') \exp(-i\omega'_e \tau')] \exp(i\nu' \tau') d\tau' \right\} \\ &= 2\text{Re} \left\{ \frac{1}{T'} \int_0^{T'} dt' \int_0^\infty [C_1(t', \tau') + iC_2(t', \tau') \right. \\ &\quad \left. - C(t')] \exp[i(\nu' - \omega'_e) \tau'] d\tau' \right\} \\ &= 2\text{Re} \left\{ \frac{1}{T'} \int_0^{T'} dt' \int_0^\infty [C_1(t', \tau') + iC_2(t', \tau') \right. \\ &\quad \left. - u^2(t') - v^2(t')] \exp[i(\nu' - \omega'_e) \tau'] d\tau' \right\}. \end{aligned} \quad (11)$$

2. 数值计算的具体方法

整个数值计算过程是按下述步骤进行的:

(i) 按 (11) 式中对 t' 积分的要求, 从 (10) 式中求出所需要的分立积分点 t'_i 上的 $u(t'_i)$ 、 $v(t'_i)$ 、 $w(t'_i)$ 的值。

(ii) 将 $u(t'_i)$ 、 $v(t'_i)$ 、 $w(t'_i)$ 代入 (9) 式及初始条件中, 求解 (9) 式得 $C_1(t'_i, \tau'_j)$ 、 $C_2(t'_i, \tau'_j)$, (τ'_j 由快速傅里叶变换中对时间取样要求选定); 然后应用快速傅里叶变换技术, 完成

(11)式中各量对 τ' 的傅里叶变换。

(iii) 将各 t_i 点上诸量的傅里叶变换后的结果, 按对 t' 的积分要求进行叠加, 再除以观察时间 T 和取实部, 即得原子共振荧光谱。

3. 计算参数与初始条件的选定

为便于和以前的理论比较, 我们取定初始时刻, 原子处于基态, 即 $\Delta_0 = -1$; 对脉冲场, 选定峰值场强对应的拉比频率 $\Omega_0 = 5K$; 且原子跃迁频率与脉冲场中心频率共振 ($\Delta\omega = 0$)。脉冲形状函数分别取以下几种形式

$$F(t) = \begin{cases} \exp\left[-\left(\frac{t-t_0}{\Delta\tau}\right)^{10}\right], & \text{(超高斯形)} \\ \exp\left[-\left(\frac{t-t_0}{\Delta\tau}\right)^2\right], & \text{(高斯形)} \\ \operatorname{sech}\left(\frac{t-t_0}{\Delta\tau}\right), & \text{(双曲正割形)} \end{cases}$$

式中 t_0 为脉冲中心位置, $\Delta\tau$ 为脉冲宽度。

四、数值结果及分析

根据上面说明的步骤, 我们在 B 6935 机远程终端上进行数值计算, 获得了不同脉冲激发的原子共振荧光谱。首先考虑仅有自发辐射阻尼情形, 这时有 $K'_1 = (T_2/2T_1) = 1$ 。

1. 窄脉冲激光激发的共振荧光谱

我们在图 1(a)~(c) 中给出了相应荧光谱的时间演化过程。三种脉冲宽度均取为 $\Delta\tau = T_1$; 其中超高斯型脉冲中心位置 $t_0 = T_1$, 高斯与双曲正割形脉冲均为 $t_0 = 2T_1$ 。从图中可看出, 三者激发的谱的共同之处在于: 当观察时间 T 不太长, 荧光谱呈洛伦兹形, 谱半宽 $\Delta\nu = (K/2)$; 这与连续场激发时的弱场情形相同^[2]。而且从图 1(a)~(c) 可以看出, 三峰是在 $T > 2t_0$ 后出现的。这表明, 三峰的产生是整个脉冲与原子相互作用的结果。和连续场激发的 Mollow^[3] 三峰结构相比, 本文的结果除中峰洛伦兹结构与其相同外, 旁峰结构相差很远, 旁峰位置不正好落在峰值场强 E_0 对应的拉比频率 Ω_0 处, 旁峰被加宽, 且旁峰与中峰相对强度比明显下降远小于 Mollow 的 1:3。这一现象作者作如下定性解释: 在窄脉冲情况下, 洛伦兹中峰基本上是由自发辐射产生的, 与外场作用关系不很大, 因而几种情形下的中峰形状有相同结构; 而旁峰则是由外场与原子相互作用引起的。在连续场激发时, 它的位置落在拉比频率处, 而此种情况下的拉比频率是一常数。但对随时间变化的脉冲场, 相应的拉比频率 $\Omega(t) = \Omega_0 F(t)$ 也是随时间变化的; 正是这种变化导致了荧光谱旁峰被展宽, 且位置发生移动。这种变化愈缓慢, 旁峰受展宽影响就愈小, 三峰就愈明显。这就是图 1 中看到的超斯脉冲激发的谱旁峰较明显, 而高斯脉冲激发的谱旁峰几乎被“淹没”的原因。另外, 图 1(d) 中我们给出了宽度 $\Delta\tau = 0.1T_1 < T_1$ 的高斯脉冲激发的谱, 它为半宽度 $\Delta\nu = (K/2)$ 的洛伦兹型荧光谱。这正表明, 当 $\Delta\tau < T_1$ 时, 原子荧光谱型仅决定于自发辐射, 外场作用仅影响荧光谱强度大小, 而不影响其形状。

2. 宽脉冲激光激发的荧光谱

在图 2(a)~(c) 中, 给出了同样三种脉冲激发的荧光谱, 其中心位置均选定在 $t_0 = 5T_1$

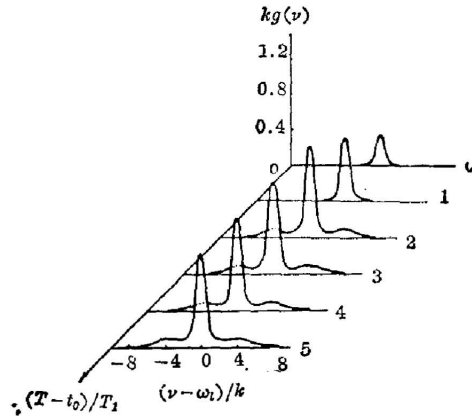


Fig. 1(a) The spectrum excited by a super-Gaussian pulse
 $\Delta\tau=1T_1, t_0=1T_1, \Omega_0/k=5, k_1/k=1,$
 $\Delta\omega/k=0, \Delta_0=-1$

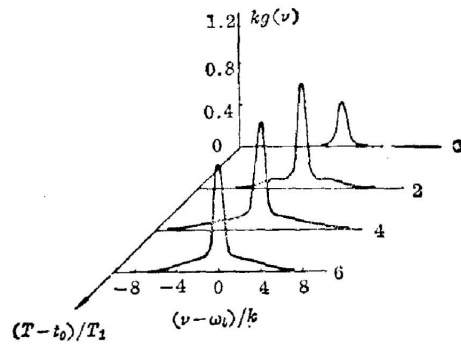


Fig. 1(b) The spectrum excited by a Gaussian pulse
 $\Delta\tau=1T_1, t_0=2T_1, \Omega_0/k=5, k_1/k=1,$
 $\Delta\omega/k=0, \Delta_0=-1$

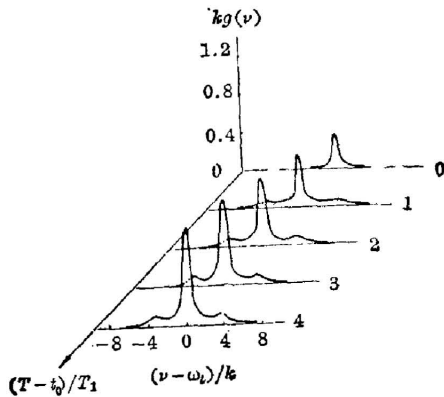


Fig. 1(c) The spectrum excited by a hyperbolic secant pulse
 $\Delta\tau=1T_1, t_0=2T_1, \Omega_0/k=5, k_1/k=1,$
 $\Delta\omega/k=0, \Delta_0=-1$

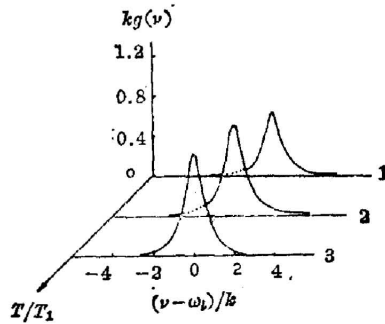


Fig. 1(d) The spectrum excited by a Gaussian pulse
 $\Delta\tau=0.1T_1, t_0=0.2T_1, \Omega_0/k=5,$
 $k_1/k=1, \Delta\omega/k=0, \Delta_0=-1$

处,脉宽 $\Delta\tau=5T_1$ 。由于宽超高斯脉冲接近连续场,它激发的谱应接近 Mollow 情况。如图 2(a)所示,实线表示的谱接近虚线所示的 Mollow 计算结果;至于旁峰差异,可认为是超高斯脉冲前沿和后沿的影响。而宽高斯脉冲与双曲正割脉冲激发的荧光谱出现了奇异的现象:中峰不再呈洛伦兹形状,而近似平台结构。仔细研究中峰不难发现,它相当于一洛伦兹结构上叠加一尖峰。经计算发现,尖峰的半宽度 $\Delta\nu_0$ 随脉冲宽度 $\Delta\tau$ 增加而变窄。且当 $\Delta\tau \leq T_1$ 时,尖峰消失,中峰成为洛伦兹形。这一现象作者认为高斯型脉冲场强的傅里叶变换有以下形式

$$E(\omega) = \frac{1}{\sqrt{2\sigma\tau}} \int_{-\infty}^{\infty} E_0 \exp\left[-\left(\frac{t-t_0}{\Delta\tau}\right)^2\right] \exp[i(\omega-\omega_0)(t-t_0)] d(t-t_0)$$

$$= \frac{E_0 \Delta\tau}{\sqrt{2}} \exp[-(\omega-\omega_0)^2/(2/\Delta\tau)^2]$$

激光的强度分布为

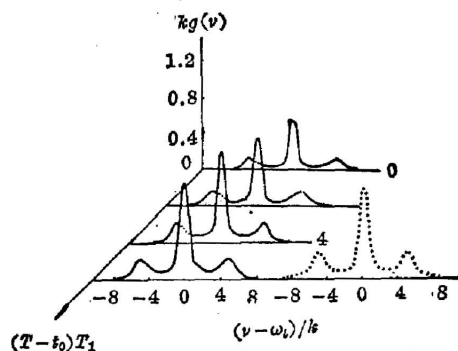


Fig. 2(a) The spectrum excited by a super-Gaussian pulse

$\Delta\tau=5T_1, t_0=5T_1, \Omega_0/k=5, k_1/k=1, \Delta\omega/k=0, \Delta_0=-1.$

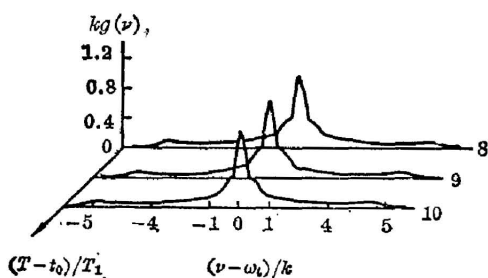


Fig. 2(b) The spectrum excited by a Gaussian pulse

$\Delta\tau=5T_1, t_0=5T_1, \Omega_0/k=5, k_1/k=1, \Delta\omega/k=0, \Delta_0=-1$

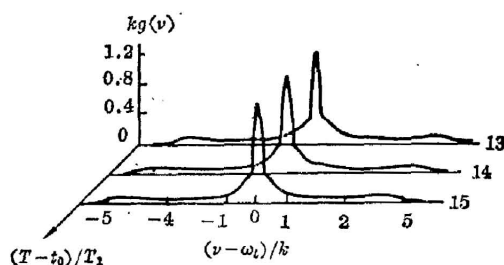


Fig. 2(c) The spectrum excited by a hyperbolic secant pulse

$\Delta\tau=5T_1, t_0=5T_1, \Omega_0/k=5, k_1/k=1, \Delta\omega/k=0, \Delta_0=-1$

$$I(\omega) = \frac{1}{2} \epsilon_0 E^*(\omega) E(\omega) = \frac{\epsilon_0}{4} E_0^2 \Delta\tau^2 \exp[-(\omega - \omega_c)^2 / (\sqrt{2} / \Delta\tau)^2]$$

这表明激光场含有多种频率成份；因此原子除对中心频率 ω_c 处激光产生相干散射外，对其它频率成份 ω 处的激光也应产生相干散射，正是这后一部分散射光叠加在非相干散射光的背景上，形成尖峰，这种相干散射光谱强度应决定于入射激光强度；因入射激光强度 $I(\omega)$ 正比于 $E_0^2 \Delta\tau^2$ ；这种关系也应反映到相干散射光谱中来，即相干散射光强度也应正比于 $E_0^2 \Delta\tau^2$ 。

当 E_0 一定时，相干散射光强决定于 $\Delta\tau^2$ 。作用时间 $\Delta\tau$ 越长，则相干散射光就越强。从频域来看，由 $I(\omega)$ 表示式我们算得激光场的谱半宽 $\Delta\nu_0 = (\sqrt{2 \ln 2} / \Delta\tau)$ ；度实际数值计算表明，当 $\Delta\tau > T_1$ 时，相干散射尖峰半宽度 $\Delta\nu_c$ 对 $\Delta\tau$ 也近似有这种依赖关系，如图 3 所示，图中分别给出了相干散射尖峰半宽度 $\Delta\nu_c$ 、原子非相干辐射产生的洛伦兹中峰半宽度 $\Delta\nu_{inc}$ 及入射激光谱半宽度 $\Delta\nu_0$ 与入射激光脉冲时域内的宽度 $\Delta\tau$ 的关系曲线。从图 3 可见，当 $\Delta\tau$ 逐渐增加时， $\Delta\nu_0$ 与 $\Delta\nu_c$ 逐渐靠近；但当 $\Delta\tau$ 减小时， $\Delta\nu_0$ 与

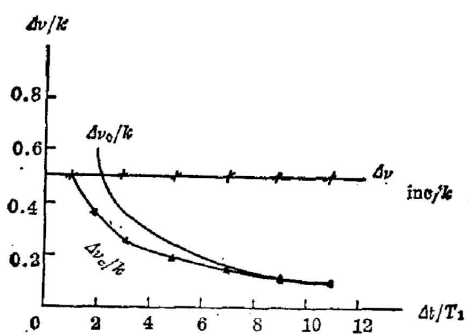


Fig. 3 Relationships between the spectrum widths and pulse width $\Delta\tau$

$\Delta\nu_0$ 有偏离。由此可见, 尖峰是由原子对外场相干散射产生的, 当原子与外场作用时间越长, 这种散射光愈接近原来的入射激光场。然而, 当 $\Delta\tau \leq T_1$ 时, 在 E_0 不变的情况下, $E_0^2 \Delta\tau^2$ 的值较小, 因而相干散射光很弱, 散射尖峰被非相干散射的背景所掩盖。本质上可以理解为: 由于 $\Delta\tau \leq T_1$, 原子与入射光作用时间很短, 甚至尚未产生相干散射, 而脉冲已经过去, 其荧光谱主要是原子经自发辐射衰减到低能态的非相干光谱。

3. 弛豫时间 T_1 、 T_2 对共振荧光谱的影响

前面讨论了仅有自发辐射阻尼时的荧光谱。然而, 当 $K'_1 = (T_2/2T_1) \neq 1$ 时, 情况又会

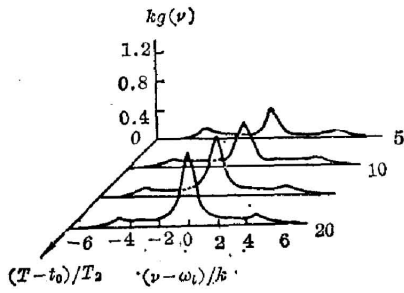


Fig. 4(a) The spectrum excited by a super-Gaussian pulse

$$\Delta\tau = 5T_2, t_0 = 5T_2, \Omega_0/k = 5, k_1/k = 0.05, \Delta\omega/k = 0, \Delta_0 = -1$$

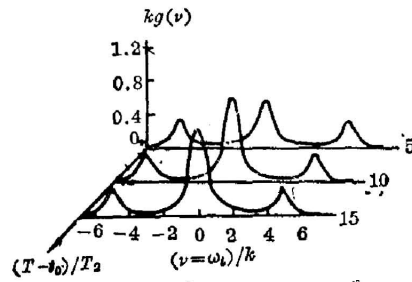


Fig. 4(b) The spectrum excited by a Gaussian pulse

$$\Delta\tau = 5T_2, t_0 = 5T_2, \Omega_0/k = 5, k_1/k = 0.05, \Delta\omega/k = 0, \Delta_0 = -1$$

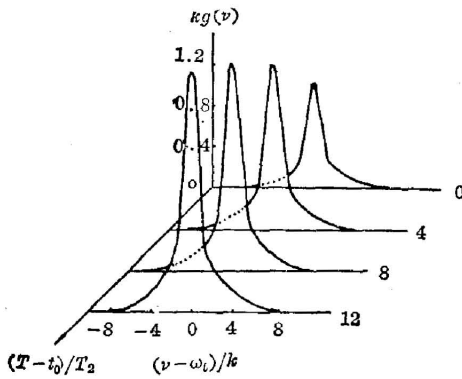


Fig. 5(a) The spectrum excited by a Gaussian pulse

$$\Delta\tau = 1T_2, t_0 = 2T_2, 2\Omega_0/k = 5, k_1/k = 0.05, \Delta\omega/k = 0, \Delta_0 = -1$$

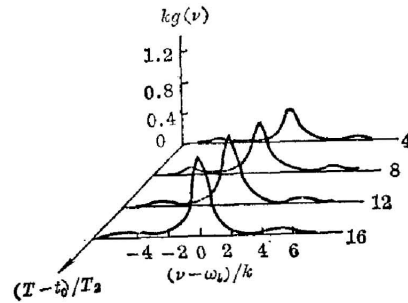


Fig. 5(b) The spectrum excited by a super-Gaussian pulse

$$\Delta\tau = 1T_2, t_0 = 1T_2, \Omega_0/k = 5, k_1/k = 0.05, \Delta\omega/k = 0, \Delta_0 = -1$$

怎样呢? 我们计算了 $(T_2/2T_1) = 0.05$ 情形下, 超高斯脉冲与高斯脉冲激发的荧光谱; 脉宽均选定为 $\Delta\tau = 5T_2$, 中心位置也都为 $t_0 = 5T_2$ 。图 4 给出了荧光谱形。显然, 超高斯脉冲激发的谱再次表现为接近连续场激发的结果^[2]; 而高斯脉冲激发的谱却出现了较明显的三峰结构, 并且中峰上没有叠加尖峰。这是因为当 $\Delta\tau = 5T_2 = 0.25T_1 < T_1$ 时, 相干散射很弱, 尖峰不明显。但因 $\Delta\tau > T_2$, 因此原子在整个非相干散射过程中, 仍受到外场的影响, 所以非相干散射谱中除洛伦兹中峰外, 还出现了旁峰结构。另外, 当 $\Delta\tau = T_2$ 时, 作用时间更短, 高斯脉冲激发的谱旁峰基本消失, 谱基本上成为洛伦兹结构; 而超高斯脉冲在 $\Delta\tau = T_2$ 时激发的谱,

虽有旁峰,但与 $\Delta\tau=5T_2$ 时的旁峰相比,强度要弱得多,如图 5 所示。综上所述,由于超高斯脉冲的行为较接近连续激光场,所以它比高斯脉冲容易产生旁峰。

五、小 结

从上面几种讨论情况来看,不仅脉冲形状,而且脉冲宽度及弛豫时间均对原子共振荧光谱型产生很大的影响。与文献[4]结果相比,引入自发辐射加宽影响后,光谱中就不再出现带振荡性质的所谓“多峰结构”。此外,实际的激光脉冲与高斯脉冲较接近,而超高斯脉冲可看作连续激光场突然开启和经 $\Delta\tau$ 时间后再关闭的过程的一种近似描述;所以本文的结果对进一步了解原子的瞬态辐射过程是有意义的。

作者感谢顾敏同志在本文完成过程中所给予的许多帮助。

参 考 文 献

- [1] B. R. Mollow; *Phys. Rev.*, 1969, **188**, No. 5 (Dec), 1969~1975.
- [2] Tan Weihan, Zhang Weiping; *Chinese Phys. Lett.*, 1985, **2**, No. 7, 309~312.
- [3] X. Y. Huang, R. Tanas *et al.*; *Phys. Rev. (A)*, 1982, **A26**, No. 2 (Aug), 892~901.
- [4] K. Rzazewski, M. Florjanczyk; *J. Phys. (B)*, 1984, **B17**, No. 15 (Aug), L509.
- [5] M. Lax; *Phys. Rev.*, 1963, **129**, No. 5 (Mar), 2342~2348.
- [6] W. H. Louisell; *Quantum Statistical Properties of Radiation*, (John Wiley, 1973), 597.

Resonance fluorescence of atom excited by a laser pulse

ZHANG WEIPING

(Anhui Institute of Optics and Fine Mechanics, Academia Sinica, Hefei)

TAN WEIHAN

(Shanghai Institute of Optics and Fine Mechanics, Academia Sinica)

(Received 29 May 1986; revised 28 November 1986)

Abstract

In the paper, according to the Bloch equations including relaxation times T_1 and T_2 , we numerically obtain the transient resonance fluorescence spectrum of atom excited by several types of laser pulses, including the conventional Gaussian pulse, under the strong resonant excitation.

Key Words: resonance fluorescence; transient resonance fluorescence phenomena.